

# 过氧化物还原酶3在早孕妇女血清中的水平

隋 蕾 梁爱华 李连芹

**摘要 目的** 探讨过氧化物还原酶3(PRX3)在妊娠早期的抗氧化作用。**方法** 收集90例在门诊行人工流产的患者血清和流产后绒毛组织,采用酶联免疫吸附测定法,检测PRX3的血清值,采用实时定量PCR和蛋白质印迹法,检测绒毛中PRX3的表达水平。**结果** 自妊娠8周以后开始,孕妇的血清PRX3值显著高于非孕女性( $P < 0.05$ ),绒毛组织中PRX3的表达随着孕周增长逐渐升高。**结论** 妊娠女性体内存在氧化应激状态,并且随着孕周的增长而加重。PRX3在绒毛组织中具有重要的抗氧化功能。

**关键词** 过氧化物还原酶 妊娠 活性氧簇 氧化应激

中图分类号 R714

文献标识码 A

DOI 10.11969/j.issn.1673-548X.2018.01.026

**Serum Peroxiredoxin 3 in Early Pregnant Women.** Sui Lei, Liang Aihua, Li Lianqin. Binzhou Medical University, Shandong 264003, China

**Abstract Objective** To investigate the role of peroxiredoxin 3 (PRX3) in early pregnancy. **Methods** We collected serum and villus tissues from ninety patients at first trimester. Enzyme - linked immunosorbent assay, real - time PCR, and Western Blotting were applied to examine the PRX3 level in above samples. **Results** The serum PRX3 in pregnant women was significantly higher than in non - pregnant controls. The expression of PRX3 in villus tissues was increased with gestational progression. **Conclusion** The oxidative stress was increased in pregnant women. PRX3 plays an active role in antioxidant defense of villus tissues.

**Key words** Peroxiredoxin; Pregnancy; Reactive oxygen species; Oxidative stress

细胞活动所需要的能量来自于线粒体。线粒体在提供能量的同时,会产生类似于废气的活性氧簇(reactive oxygen species, ROS)。虽然低剂量的ROS可以作为一种信号分子,参与细胞的增殖、分化、凋亡等生理活动。但过量的ROS会对细胞组分如核酸、脂质、蛋白质造成氧化损伤<sup>[1]</sup>。过氧化物还原酶(peroxiredoxin, PRX)是一组具有抗氧化功能的蛋白,可以利用自身的半胱氨酸残基,将H<sub>2</sub>O<sub>2</sub>还原成水,并且通过调控细胞内的活性氧水平和信号转导,参与胚胎发育、老化、肿瘤、炎性疾病等生理病理过程<sup>[2~4]</sup>。

在妊娠状态下,由于所需要的能量增多,细胞代谢产生的ROS也会增多。当孕妇出现病理状态时

(如妊娠期高血压病、妊娠期糖尿病等),细胞产生的ROS过多,而抗氧化功能能力相对不足,细胞内ROS的水平超出了抗氧化系统的清除能力,氧化和抗氧化之间的平衡被打破,就会形成所谓的氧化应激状态(oxidative stress)<sup>[5~7]</sup>。过氧化物还原酶3(peroxiredoxin 3, PRX3)作为PRX家族中的成员之一,PRX3主要存在于线粒体中,并且作为线粒体内主要的抗氧化蛋白,可以清除线粒体内90%左右的过氧化氢,对于维持线粒体的状态稳定作用重大<sup>[8~10]</sup>。在此之前,笔者利用PRX3基因敲除型小鼠,对PRX3的抗氧化功能进行了研究。结果发现,PRX3基因敲除型雌鼠虽然可以正常妊娠,但发生死产的概率很高,胎盘处于严重的氧化应激状态,说明PRX3在胎盘中具有不可或缺的抗氧化作用<sup>[11]</sup>。本研究检测早孕女性血清中的PRX3水平,以及PRX3在绒毛中的表达特点,以探讨其在早孕中的作用。

## 材料与方法

**1. 研究对象:**选定自2016年12月~2017年2月约3个月期间内,在笔者医院实施人工流产或者药物流产的患者,详细记录患者的年龄、身高、体重、孕次、停经天数、孕囊及胎芽大小,根据停经天数和胎芽

基金项目:山东省医药卫生科技发展计划基金资助项目(2015WS0478);滨州医学院校级科研启动基金资助项目(BY2015KYQD28)

作者单位:264003 烟台,滨州医学院(隋蕾);252000 聊城市第四人民医院妇科(隋蕾);264100 滨州医学院烟台附属医院妇科(梁爱华),生殖医学科(李连芹)

通讯作者:李连芹,主任医师,教授,硕士生导师,电子信箱:lilq2005@bzmc.edu.cn

大小确定孕周,其中6周+1~2天归为6周,6周+3~4天归为6.5周,6周+5~6天归为7周,以此类推。同期接受健康体检的年龄相当的非孕女性作为对照组。

2. 血清 PRX3 的检测:在患者实施手术(或者药物流产)前,抽取血液2ml,离心后冻存于-70℃,待样本收集齐全后,利用酶联免疫吸附测定(ELISA)方法,检测 PRX3 的水平。ELISA 试剂盒购自美国的 NeoScientific 公司,操作方法严格按照厂家提供的说明书进行。

3. 绒毛组织过氧化物还原酶3的检测:留取流产后的绒毛组织,洗净后冻存于-70℃,待样本收集齐全后,利用实时定量 PCR 方法(qRT-PCR)检测绒毛中 PRX3 的 mRNA 水平。PRX3 引物序列: Forward 5' - CAGCCGTTGTCAATGGAGAG - 3'; Reverse 5' - TCACATCGTGAAATTCTGTTAGC - 3'。内参(-actin)引物序列: Forward 5' - CGGCCAGGTCAATCACCATTG - 3'; Reverse 5' - CCGCCAGACAGCACTGTGTTG - 3'。相对表达量计算如前所述<sup>[11]</sup>。同时采用蛋白质印迹法,检测绒毛中 PRX3 的蛋白水平。抗 PRX3 抗体购自英国的 Abcam 公司,β-actin 作为内参。对于蛋白质印迹法的相对表达量,采用 Gel-Pro Analyzer 读取

条带的积分吸光度值(integrated optical density, IOD)。

4. 统计学方法:采用 SPSS 13.0 统计学软件进行统计分析,所得数据以均数±标准差( $\bar{x} \pm s$ )表示。对于血清中的 PRX3 值,采用 t 检验法;对于 qRT-PCR 和蛋白质印迹实验结果,通过单因素方差分析,比较不同样本之间的表达差异,以  $P < 0.05$  为差异有统计学意义。

## 结 果

1. 基本情况:本研究共纳入9周以内的流产病例90例,其中人工流产62例,药物流产28例。对照组90例。早孕组患者平均年龄  $27.0 \pm 2.1$  岁,体重指数为  $21.77 \pm 3.10$ ,非孕组患者平均年龄  $26.0 \pm 2.7$  岁,体重指数为  $20.9 \pm 2.2$ ,两组间患者年龄、体重指数比较差异无统计学意义( $P > 0.05$ )。

2. 血清中 PRX3 的水平:早孕组女性血清中的 PRX3 平均值为  $11.92 \pm 3.51$  ng/ml,非孕女性血清中的 PRX3 平均值为  $7.63 \pm 1.56$  ng/ml,两组比较差异有统计学意义( $P < 0.05$ ),而且随着孕周增加,PRX3 值逐渐升高,孕8周以后的血清 PRX3 值显著高于孕6周时的 PRX3 值( $P < 0.05$ ,表1)。

表 1 早孕女性不同孕周的 PRX3 血清值

孕周(n)	6(13)	6.5(17)	7(15)	7.5(13)	8(11)	8.5(11)	9(10)
PRX3(ng/ml)	$8.6 \pm 2.1$	$9.2 \pm 2.6$	$10.5 \pm 2.9$	$11 \pm 3.5$	$13.1 \pm 3.6$	$14.5 \pm 3.8$	$16.9 \pm 4.2$

3. 绒毛中 PRX3 的表达:如表2所示,绒毛中 PRX3 的 mRNA 水平随着孕周的增加而逐渐升高,孕

9周时的 PRX3 表达水平与孕6周时的表达水平之间比较,差异有统计学意义( $P < 0.05$ )。

表 2 早孕女性不同孕周绒毛中的 PRX3 相对表达值

孕周(n)	6(13)	6.5(17)	7(15)	7.5(13)	8(11)	8.5(11)	9(10)
PRX3(ng/ml)	$2562 \pm 82$	$2631 \pm 116$	$2810 \pm 127$	$3129 \pm 135$	$3414 \pm 147$	$3652 \pm 188$	$4099 \pm 202$

同样,蛋白质印迹实验表明,绒毛组织中 PRX3 的蛋白水平随着孕周增长逐渐升高,妊娠8周以后的 PRX3 蛋白水平显著升高(8周 vs 6周,  $P < 0.01$ )。图1为代表的蛋白质印迹实验结果,其中上方为不同孕周 PRX3 和内参 β-actin 的条带,下方为与条带对应的积分吸光度值即 IOD 值。

## 讨 论

随着孕周的增长,母体所需要的能量逐渐增多,由此产生的活性氧自由基也会相应增加,给体内抗氧

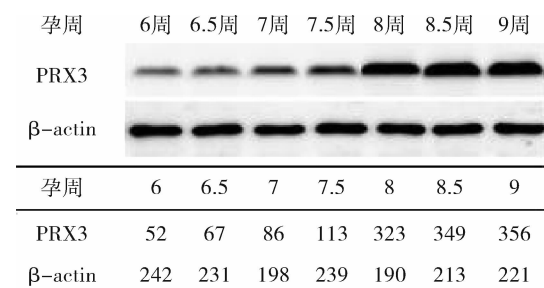


图 1 不同孕周绒毛组织中 PRX3 的蛋白水平

化系统带来的负担加重。笔者的研究结果表明, PRX3 在孕妇中的血清水平以及在绒毛组织中的表达水平, 随着孕周的增长逐渐升高, 说明 PRX3 在应对孕妇的氧化应激状态方面, 发挥积极作用。

线粒体是提供能量的细胞器, 同时也是细胞内活性氧自由基产生的主要场所。PRX3 作为线粒体内的抗氧化蛋白, 与硫氧还蛋白 2 (thioredoxin II, TRX2)、硫氧还蛋白还原酶 2 (thioredoxin reductase II, TrxR2) 构成抵御线粒体内活性氧自由基的第一道防线<sup>[12]</sup>。笔者之前的研究证实, PRX3 基因敲除型小鼠从 8 月龄开始即出现老化现象, 表现为体力和协调能力下降, 骨骼肌细胞中的线粒体 DNA 复制数明显减少, 脑细胞发生凋亡<sup>[13]</sup>。同样, 妊娠也是活性氧自由基不断增加的过程, 尤其当妊娠女性出现子痫前期等并发症时, 胎盘的氧化应激状态进一步加重, 而 PRX3 的表达也显著升高<sup>[14]</sup>。反之, 下调 PRX3 的表达, 可以加重滋养细胞的氧化应激状态, 加快细胞的老化<sup>[15]</sup>。本研究结果表明, PRX3 在孕早期即开始发挥抗氧化作用。

胎盘是连接母子的特殊器官, 母子之间的物质交换在此进行。因此, 胎盘的氧化应激状态也会反映在母体血液中。Shaker 等<sup>[16]</sup>研究发现, 在子痫前期患者中, 胎盘的脂质过氧化物与外周血的脂质过氧化物之间存在相关性。本研究中孕妇的血清 PRX3 值在妊娠 8 周以后开始显著升高, 与绒毛组织中 PRX3 升高的时间基本一致。因此, 通过测定血清 PRX 水平, 可以判断胎盘乃至孕妇整体的氧化应激状态。

综上所述, 妊娠 8 周及以后的孕妇开始出现氧化应激状态, PRX3 作为线粒体内重要的抗氧化蛋白, 在绒毛组织中的表达反应性升高, 而且与孕妇血清的 PRX3 值呈正相关。

#### 参考文献

- Cotran RS, Kumar V, Robbins SL. Robbins pathologic basis of disease [M]. Philadelphia: W. B. Saunders Company, 1994;11-13
- Pirson M, Knoops B. Expression of peroxiredoxins and thioredoxins in the mouse spinal cord during embryonic development [J]. J Comp Neurol, 2015, 523(17):2599-2617
- Li L, Yu AQ. The functional role of peroxiredoxin 3 in reactive oxy-

gen species, apoptosis, and chemoresistance of cancer cells [J]. Cancer Res Clin Oncol, 2015, 41(12):2071-2077

- Park MH, Jo M, Kim YR, et al. Roles of peroxiredoxins in cancer, neurodegenerative diseases and inflammatory diseases [J]. Pharmacol Ther, 2016, 163:1-23
- Shang M, Zhao J, Yang L, et al. Oxidative stress and antioxidant status in women with gestational diabetes mellitus diagnosed by IADPSG criteria [J]. Diabetes Res Clin Pract, 2015, 109(2):404-410
- D'Souza V, Rani A, Patil V, et al. Increased oxidative stress from early pregnancy in women who develop preeclampsia [J]. Clin Exp Hypertens, 2016, 38(2):225-232
- Li H, Yin Q, Li N, et al. Plasma markers of oxidative stress in patients with gestational diabetes mellitus in the second and third trimester [J]. Obstet Gynecol Int, 2016, 2016:3865454
- Cox AG, Winterbourn CC, Hampton MB. Mitochondrial peroxiredoxin involvement in antioxidant defence and redox signalling [J]. Biochem J, 2009, 425(2):313-325
- Lee KP, Shin YJ, Cho SC, et al. Peroxiredoxin 3 has a crucial role in the contractile function of skeletal muscle by regulating mitochondrial homeostasis [J]. Free Radic Biol Med, 2014, 77:298-306
- Rhee SG, Kil IS. Mitochondrial H<sub>2</sub>O<sub>2</sub> signaling is controlled by the concerted action of peroxiredoxin III and sulfiredoxin: Linking mitochondrial function to circadian rhythm [J]. Free Radic Biol Med, 2016, 100:73-80
- Li L, Shoji W, Oshima H, et al. Crucial role of peroxiredoxin III in placental antioxidant defense of mice [J]. FEBS Lett, 2008, 582(16):2431-2434
- Rabilloud T, Heller M, Rigobello MP, et al. The mitochondrial antioxidant defence system and its response to oxidative stress [J]. Proteomics, 2001, 1(9):1105-1110
- Zhang YG, Wang L, Kaifu T, et al. Accelerated decline of physical strength in peroxiredoxin - 3 knockout mice [J]. Exp Biol Med, 2016, 241(13):1395-1400
- D'Souza V, Rani A, Patil V. Increased oxidative stress from early pregnancy in women who develop preeclampsia [J]. Clin Exp Hypertens, 2016, 38(2):225-232
- Wu WB, Menon R, Xu YY, et al. Downregulation of peroxiredoxin - 3 by hydrophobic bile acid induces mitochondrial dysfunction and cellular senescence in human trophoblasts [J]. Sci Rep, 2016, 6:38946
- Shaker OG, Sadik NA. Pathogenesis of preeclampsia: Implications of apoptotic markers and oxidative stress [J]. Hum Exp Toxicol, 2013, 32(11):1170-1178

(收稿日期:2017-03-30)

(修回日期:2017-03-31)